

Trotterization is substantially efficient for low-energy states

-Trotter分解の低エネルギー初期状態に対する本質的効率性-

Kaoru Mizuta (UTokyo, RIKEN RQC, JST PRESTO)

1. Intro: Hamiltonian simulation

Hamiltonian simulation Schrodinger eq. を量子計算機で解く

- 指数加速が期待
Goal: 系サイズ N & 時刻 t & 許容誤差 ϵ について高速な量子アルゴリズム

Trotter 分解 NISQ & FTQC で最も標準的な量子アルゴリズム

[p 次の積公式]	[アルゴリズム]
$T_p(\tau) = e^{-iH\tau} + \mathcal{O}(\tau^{p+1})$	微小時間 $\tau = t/r$ の時間発展を繰り返す
$H = H_1 + H_2$ の場合	$T_1(\tau) = e^{-iH_2\tau}e^{-iH_1\tau}$
	$T_2(\tau) = e^{-iH_1\tau/2}e^{-iH_2\tau}e^{-iH_1\tau/2}$
	$e^{-iHt} = \left\{ T_p \left(\frac{t}{r} \right) \right\}^r + \mathcal{O} \left(\frac{t^{p+1}}{r^p} \right)$
	$< \epsilon$ (許容誤差)

2. Intro: Trotter 誤差と計算コスト

Trotter 誤差 “全ての可能な初期状態に対する worst-case の誤差”

$$\|e^{-iH\tau} - T_p(\tau)\| = \max_{|\psi\rangle \in \mathcal{H}} (\|(e^{-iH\tau} - T_p(\tau))|\psi\rangle\|)$$

誤差の上界:

$$H = \sum_{\gamma=1}^{\Gamma} H_{\gamma}$$

1-norm スケーリング (Taylor展開)

$$\leq \mathcal{O} \left(\left(\sum_{\gamma} \|H_{\gamma}\| \tau \right)^{p+1} \right) \subset \mathcal{O} \left((Ng\tau)^{p+1} \right)$$

交換子スケーリング (局所性を反映)

$$\leq \mathcal{O} \left(\sum_{\gamma_0, \dots, \gamma_p} \| [H_{\gamma_p}, [\dots, [H_{\gamma_1}, H_{\gamma_0}]]] \| \tau^{p+1} \right)$$

Many vanishing terms

A. M. Childs, et al., PRX 11, 011020 (2021)

$$\subset \mathcal{O} ((g\tau)^{p+1} N)$$

計算複雑性 ← Worst-case error, 許容誤差で決まる

$$r \times \left(\frac{gt}{r} \right)^{p+1} N \leq \mathcal{O}(\epsilon)$$

1 step の誤差 許容誤差 Trotter 数 (複雑性)

$$\rightarrow r \in \Theta \left(gt \left(\frac{Ng}{\epsilon} \right)^{\frac{1}{p}} \right)$$

任意の初期状態に対する精度保証
交換子スケーリングによる良い系サイズ N 依存性
LCU, QSFT などよりも良い
D. W. Berry, et al., PRL 114, 090502 (2015).
A. Gilyen, et al., STOC (2019)

3. Motivation & Result: 低エネルギー初期状態に対する本質的効率性

動機 物理的に興味のあるクラスの初期状態に対して誤差・コストを本質的に改善できるか？

Worst-case error は過大評価している

Setup

半正定値項からなる一般の N -qubit 局所 Hamiltonian

$$H = \sum_X h_X, \quad h_X \geq 0$$

1 site あたりエネルギー (extensiveness): $g = \max_{i=1, \dots, N} \left(\sum_{X \ni i} \|h_X\| \right)$

有限距離相互作用の場合、 $g \in \mathcal{O}(1)$

全系の最大エネルギー: Ng ($\geq \|H\|$)

結果 低エネルギー初期状態に対する普遍的なスケーリングの改善を証明

低エネルギー初期状態 $|\psi_{\leq \Delta}\rangle = \sum_{n; E_n \leq \Delta} c_n |E_n\rangle, \quad 0 \leq \Delta \ll Ng$

計算コスト

任意の初期状態 $r \propto gt \left(\frac{Ng}{\epsilon} \right)^{\frac{1}{p}}$

低エネルギー初期状態 $r \propto gt \left(\frac{(\Delta + g \log(N/\epsilon))t}{\epsilon} \right)^{\frac{1}{p}}$

初期状態のエネルギー $\Delta \in o(Ng)$ でアルゴリズム高速化

種々の先行研究の結果を改善 & これ以上改善できない最適なスケーリングを達成

B. Şahinoğlu, et al., Npj Quantum Info. (2021)

4. Result: 誤差上限と導出

低エネルギー初期状態に対する誤差

$$\|(e^{-iH\tau} - T_p(\tau))\Pi_{\leq \Delta}\| = \max_{|\psi_{\leq \Delta}\rangle} (\|(e^{-iH\tau} - T_p(\tau))|\psi_{\leq \Delta}\rangle\|)$$

結果

任意初期状態

A. M. Childs, et al., PRX 11, 011020 (2021)

低エネルギー状態

B. Şahinoğlu, et al., Npj Quantum Info. (2021)

低エネルギー状態

K. Hejazi, et al., arXiv:2402.10362 (2024)

(Our result)

誤差上限

$\mathcal{O}((gt)^p Ng\tau)$

Trotter 数 r

$$gt \left(\frac{Ng\tau}{\epsilon} \right)^{\frac{1}{p}}$$

でのみ高速化

$\Delta \lesssim N^{\frac{1}{p+1}} g$

$$\mathcal{O}((\Delta + (g\tau)Ng)\tau)^{p+1} \quad \Delta t \left(\frac{\Delta t}{\epsilon} \right)^{\frac{1}{p}} + gt \left(\frac{gt}{\epsilon} \right)^{\frac{1}{2p+2}} N^{\frac{1}{2} + \frac{1}{p+2}}$$

N 依存性の改善殆どなし

$$\mathcal{O}((\Delta + (g\tau)^{p+1} Ng)\tau)^{p+1} \quad \Delta t \left(\frac{\Delta t}{\epsilon} \right)^{\frac{1}{p}} + gt \left(\frac{(N^{p+1}gt)^{\frac{1}{p+2}}}{\epsilon} \right)^{\frac{1}{2p+2}}$$

改善殆どなし

$$\mathcal{O}((gt)^p \{\Delta + g \log(N/\epsilon)\}\tau) \quad gt \left(\frac{(\Delta + g \log(N/\epsilon))t}{\epsilon} \right)^{\frac{1}{p}}$$

$\Delta \in o(Ng)$ で高速化

N 依存性の指数的改善

Trotter 誤差による低エネルギー部分空間からの leakage

導出

低エネルギー性 & 交換子スケーリングの両立

(1) 低エネルギー空間における多重交換子の上限

$$\sum_{\gamma_0, \dots, \gamma_q} \|\Pi_{\leq \Delta} [H_{\gamma_q}, [\dots, [H_{\gamma_1}, H_{\gamma_0}]]] \Pi_{\leq \Delta}\| \leq q! (2kg)^q \Delta \quad \text{先行研究: } \lesssim \mathcal{O}(\Delta^{p+1})$$

→ 相互作用の局所性を正確に反映

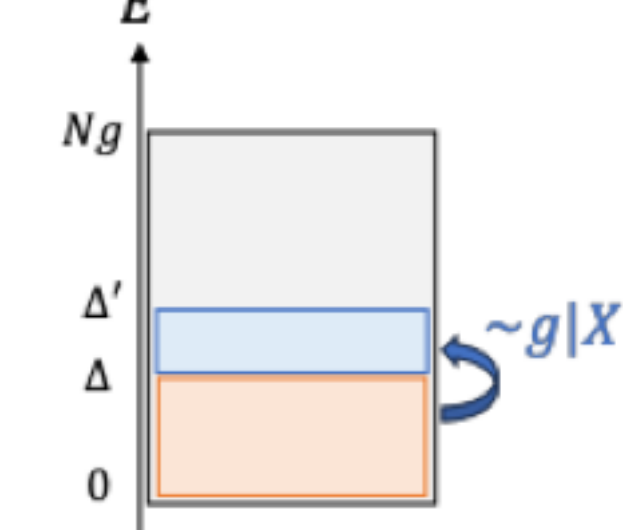
(2) Trotter 誤差による低エネルギー空間からの leakage

Hastings' theorem on leakage

$$\|\Pi_{>\Delta'} O_X \Pi_{\leq \Delta}\| \leq \|O_X\| e^{-\mathcal{O}(\frac{\Delta - \Delta' - g|X|}{\epsilon})}$$

I. Arad, et al., J. Stat. Mech. 2016, 033301 (2016).

Local op.



Trotter 誤差による leakage

$$\|\Pi_{>\Delta'} (e^{-iH\tau} - T_p(\tau)) \Pi_{\leq \Delta}\| \lesssim \sum_{\gamma_0, \dots, \gamma_q} \|\Pi_{>\Delta'} [H_{\gamma_q}, [\dots, [H_{\gamma_1}, H_{\gamma_0}]]] \Pi_{\leq \Delta}\| \tau^{p+1}$$

先行研究: Non-local op.

5. Extension: 他の低エネルギー状態

ここまで初期状態: $|\psi_{\leq \Delta}\rangle = \sum_{n; E_n \leq \Delta} c_n |E_n\rangle$ 低エネルギー部分空間で閉じている

→ 一般にそのような状態の準備や検証は困難

拡張: 低エネルギー期待値を持つ弱相関な初期状態

弱相関性: 積状態, 有限回路深さのゲートをかけた積状態, など

低エネルギー期待値: $\langle \psi | H | \psi \rangle \leq \Delta$ 古典/量子計算で検証が容易
部分空間で閉じる必要なし

誤差上限

$$\leq \mathcal{O}((gt)^p \{\Delta + \sqrt{N \log(N/\epsilon)} g\}\tau) + \epsilon$$

Trotter 数 r

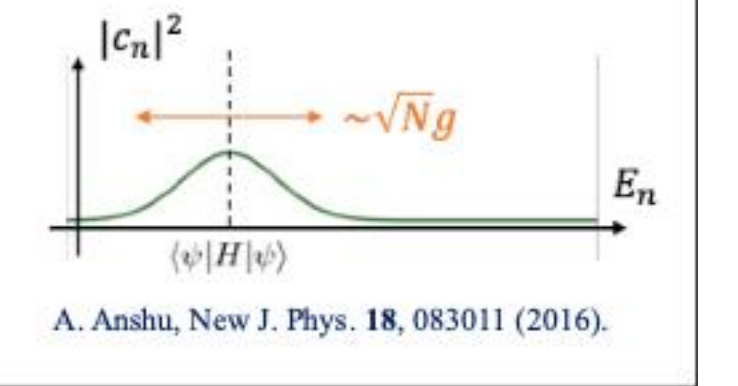
$$gt \left(\frac{\Delta t + \sqrt{N \log(N/\epsilon)} gt}{\epsilon} \right)^{\frac{1}{p}}$$

低エネルギー領域 $\langle \psi | H | \psi \rangle \in o(Ng)$

で N について2乗加速まで可能

導出

我々の結果 & 量子 Chernoff 限界



A. Anshu, New J. Phys. 18, 083011 (2016).

6. Summary & Future direction

エネルギー $\Delta \in o(Ng)$ の初期状態に対する

普遍的な誤差・コストのスケーリング改善

最適性: 誤差の $\Theta(\Delta)$ -scaling は理論上ベスト

→ 任意初期状態での最適な scaling $\Theta(N)$ を $\Delta = Ng$ で再現するため

Q. Zhao, et al., Nature Physics 21, 1338 (2025)

展望

低エネルギー ×

Trotter-based algorithms

より良いスケーリング

低エネルギー ×

時間依存量子系

断熱量子状態準備による低エネルギー固有状態